

บทที่ 4

ผลการทดลอง

การทดลองการรีไซเคิลอีพ็อกซีเรซินในแพ้งวงจรอิเล็กทรอนิกส์ชนิด FR-4 ด้วยตัวทำละลายร้อน เป็นการศึกษาและเปรียบเทียบประสิทธิภาพของการรีไซเคิลของตัวทำละลายแต่ละชนิด เพื่อเลือกใช้ตัวทำละลายที่มีประสิทธิภาพของการรีไซเคิลสูงสุด ในการทดลองนี้เลือกใช้ตัวทำละลายทั้งหมด 5 ชนิด ได้แก่ เขกเซน เมทิลลีนคลอไรค์ เอทิลอะซีเตท อะซีโตน และเมทานอล เมื่อได้ตัวทำละลายที่มีประสิทธิภาพสูงสุด จึงทำการศึกษาปัจจัยและสภาวะที่มีผลต่อการรีไซเคิล ในการทดลองนี้เป็นการศึกษาขนาดอนุภาคของแพ้งวงจรอิเล็กทรอนิกส์ที่มีผลต่อประสิทธิภาพของการรีไซเคิล โดยเลือกใช้แพ้งวงจรอิเล็กทรอนิกส์บดหยาบ ขนาดอนุภาค 3–4 มิลลิเมตร และแพ้งวงจรอิเล็กทรอนิกส์บดละเอียด ขนาดอนุภาค 0.075–0.097 มิลลิเมตร และศึกษาเวลาในการรีไซเคิลที่มีผลต่อประสิทธิภาพของการรีไซเคิล โดยเลือกใช้ช่วงเวลาทั้งหมด 4 ชั่วโมง 6 ชั่วโมง 12 ชั่วโมง และ 24 ชั่วโมง หลังจากนั้นจึงทำการศึกษาและพัฒนาเทคนิคที่ใช้ในการรีไซเคิล เพื่อเลือกใช้และเพิ่มประสิทธิภาพของเทคนิคในการรีไซเคิล ในการทดลองนี้ใช้เทคนิคในการรีไซเคิลทั้งหมด 4 เทคนิค ได้แก่ เทคนิครีฟลักช์ เทคนิคซอกเดต เทคนิคผสมระหว่างเทคนิครีฟลักช์กับเทคนิคซอกเดต และเทคนิคถังความดัน และทำการทดสอบหมู่ฟังก์ชันหลักของรีไซเคิลเรซินด้วยเทคนิคฟูเรย์ทرانฟอร์มอินฟราเรดスペกโตรสโคป

จากการศึกษาตัวทำละลาย ปัจจัย สภาวะ และเทคนิคในการรีไซเคิล เพื่อให้ได้ประสิทธิภาพของการรีไซเคิลสูงสุด รีไซเคิลเรซินที่ได้จะนำมาผสมกับอีพ็อกซีเรซินใหม่ เพื่อเปรียบเทียบกับแพ้งวงจรอิเล็กทรอนิกส์บดผสมกับอีพ็อกซีเรซินใหม่ โดยเลือกใช้แพ้งวงจรอิเล็กทรอนิกส์บดขนาด 60-80 mesh 80-160 mesh และ 160-200 mesh ในอัตราส่วนผสมร้อยละ 10 20 และ 30 โดยนำหนักเมื่อทำการผสมและเข้ารูปชิ้นงานเพื่อเตรียมทดสอบ จะทำการเปรียบเทียบความแข็ง ความต้านทานแรงกระแทก ความต้านทานแรงดึง เปอร์เซ็นต์การยึดคง นอคูลัส ลักษณะสัณฐานวิทยา อุณหภูมิคด้ายแก้ว และอุณหภูมิการสลายตัว

4.1 ประสิทธิภาพของตัวทำละลายในการรีไซเคิลอีพีโอดีเรซินในแพลงวัชรออเล็กทรอนิกส์

การทดลองเพื่อหาประสิทธิภาพของตัวทำละลายแต่ละชนิด สำหรับการรีไซเคิลอีพีโอดีเรซินในแพลงวัชรออเล็กทรอนิกส์ด้วยตัวทำละลายทั้งหมด 5 ชนิด ได้แก่ เอกเซน เมทิลีนคลอไรด์ เอทิลอะซีเตท อะซีโตน และเมทานอล รีไซเคิลด้วยเทคนิครีฟลักซ์ ตัวทำละลาย 200 มิลลิลิตร แพลงวัชรออเล็กทรอนิกส์ขนาดอนุภาค 0.075-0.097 มิลลิเมตร 20 กรัม อุณหภูมิ 80 องศาเซลเซียส เวลา 24 ชั่วโมง ร้อยละผลิตภัณฑ์ที่คำนวณ ได้จากการที่ (4-1)

$$\text{ร้อยละผลิตภัณฑ์} = \frac{\text{น้ำหนักของรีไซเคิลเรซิน}}{\text{น้ำหนักของอีพีโอดีเรซินในแพลงวัชรออเล็กทรอนิกส์}} \times 100 \quad (4-1)$$

ผลการทดลองดังแสดงในตารางที่ 4-1

ตารางที่ 4-1 ร้อยละผลิตภัณฑ์จากการรีไซเคิลอีพีโอดีเรซินในแพลงวัชรออเล็กทรอนิกส์ด้วยตัวทำละลาย 5 ชนิด

ตัวทำละลาย	ร้อยละผลิตภัณฑ์
เอกเซน	2.33 ± 0.17
เมทิลีนคลอไรด์	23.52 ± 1.23
เอทิลอะซีเตท	25.18 ± 0.66
อะซีโตน	21.94 ± 0.57
เมทานอล	16.35 ± 0.95

จากผลการทดลองเพื่อหาประสิทธิภาพของตัวทำละลายแต่ละชนิด สำหรับการรีไซเคิลอีพีโอดีเรซินในแพลงวัชรออเล็กทรอนิกส์ด้วยตัวทำละลาย 5 ชนิด ได้แก่ เอกเซน เมทิลีนคลอไรด์ เอทิลอะซีเตท อะซีโตน และเมทานอล ดังแสดงในตารางที่ 4-1 พบว่า ตัวทำละลายเอทิลอะซีเตท มีประสิทธิภาพของการรีไซเคิลอีพีโอดีเรซินในแพลงวัชรออเล็กทรอนิกส์สูงสุด คือ 25.18 เปอร์เซ็นต์ ประสิทธิภาพของลังมา คือ เมทิลีนคลอไรด์ 23.52 เปอร์เซ็นต์ อะซีโตน 21.94 เปอร์เซ็นต์ เมทานอล 16.35 เปอร์เซ็นต์ และเอกเซน 2.33 เปอร์เซ็นต์ ตามลำดับ รีไซเคิลเรซินที่ได้

จากการรีไซเคิลด้วยตัวทำละลายเอทิลอะซีเตท ได้ร้อยละผลิตภัณฑ์สูงสุด คือ 25.18 เปอร์เซ็นต์ เนื่องจากการรีไซเคิลอีพ็อกซี่เรซินในแพ้งวงจรอิเล็กทรอนิกส์เกิดจากการถลายพันธะด้วยอุณหภูมิ [16] ตัวทำละลายเอทิลอะซีเตทมีอุณหภูมิจุดเดือดสูงสุด ดังแสดงในตารางที่ 4-2

ตารางที่ 4-2 อุณหภูมิจุดเดือดของตัวทำละลาย [38]

ตัวทำละลาย	จุดเดือด (องศาเซลเซียส)
ไฮคเซน	68.9
เมทิลีนคลอไรด์	61.7
เอทิลอะซีเตท	77.1
อะซีโตน	56.2
เมทานอล	65.0

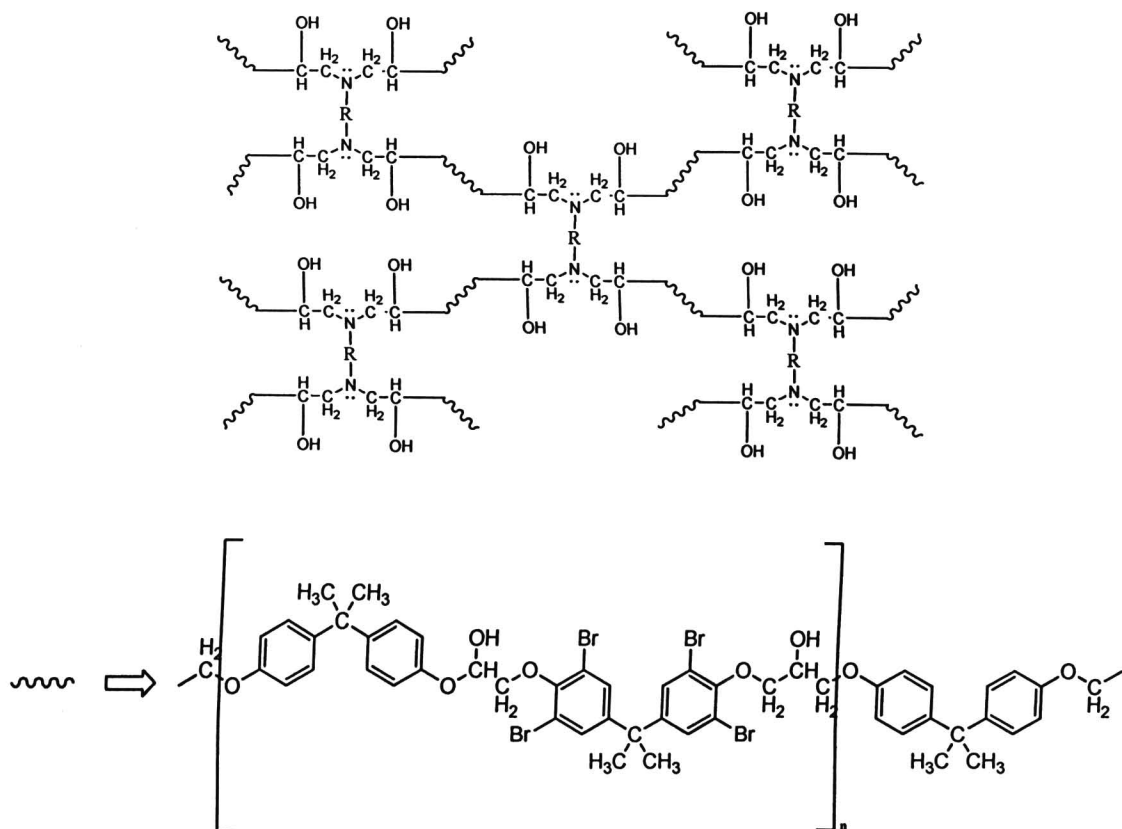
4.2 ผลของขนาดอนุภาคที่มีผลต่อการรีไซเคิลอีพ็อกซี่เรซินในแพ้งวงจรอิเล็กทรอนิกส์

การทดลองผลของขนาดอนุภาคแพ้งวงจรอิเล็กทรอนิกส์ที่มีผลต่อการรีไซเคิลอีพ็อกซี่เรซิน ในแพ้งวงจรอิเล็กทรอนิกส์ โดยใช้แพ้งวงจรอิเล็กทรอนิกส์บดหยาบ ขนาดอนุภาค 3–4 มิลลิเมตร และแพ้งวงจรอิเล็กทรอนิกส์บดละเอียด ขนาดอนุภาค 0.075–0.097 มิลลิเมตร รีไซเคิลด้วยเทคนิครีฟลักซ์ ตัวทำละลายเอทิลอะซีเตท 200 มิลลิลิตร แพ้งวงจรอิเล็กทรอนิกส์ 20 กรัม อุณหภูมิ 80 องศาเซลเซียส เวลา 24 ชั่วโมง ผลการทดลองดังแสดงในตารางที่ 4-3

ตารางที่ 4-3 ร้อยละผลิตภัณฑ์จากการรีไซเคิลอีพ็อกซี่เรซินในแพ้งวงจรอิเล็กทรอนิกส์บดหยาบ และบดละเอียด

ขนาดอนุภาคของแพ้งวงจรอิเล็กทรอนิกส์ (มิลลิเมตร)	ร้อยละผลิตภัณฑ์
3-4	20.20 ± 0.70
0.075–0.097	25.18 ± 0.66

จากการทดลองผลของขนาดอนุภาคแพลงวงจรอเล็กทรอนิกส์ที่มีผลต่อการรีไซเคิล อีพ็อกซีเรซินในแพลงวงจรอเล็กทรอนิกส์ โดยใช้แพลงวงจรอเล็กทรอนิกส์บดหยาบ ขนาดอนุภาค 3-4 มิลลิเมตร และแพลงวงจรอเล็กทรอนิกส์บดละเอียด ขนาดอนุภาค 0.075-0.097 มิลลิเมตร ดังแสดงในตารางที่ 4-3 พนว่า แพลงวงจรอเล็กทรอนิกส์ขนาดอนุภาค 0.075-0.097 มิลลิเมตร มีประสิทธิภาพของการรีไซเคิลอีพ็อกซีเรซินในแพลงวงจรอเล็กทรอนิกส์สูงสุด คือ 25.18 เปอร์เซ็นต์ เนื่องจาก โครงสร้างของอีพ็อกซีเรซินเมื่อเกิดปฏิกิริยาเชื่อมขวางเป็นโครงร่างตาข่าย สามมิติ จะมีความหนาแน่นและความแข็งแรงสูง ดังแสดงในภาพที่ 4-1



ภาพที่ 4-1 โครงสร้างของอีพ็อกซีเรซินในแพลงวงจรอเล็กทรอนิกส์ที่เกิดพันธะเชื่อมขวาง

การรีไซเคิลด้วยตัวทำละลายจึงเริ่มเกิดขึ้นที่พื้นที่ผิวภายนอก แพลงวงจรอเล็กทรอนิกส์ขนาดอนุภาค 0.075-0.097 มิลลิเมตร มีพื้นที่ผิวที่สัมผัสถกับตัวทำละลายมากกว่าแพลงวงจรอเล็กทรอนิกส์ขนาดอนุภาค 3-4 มิลลิเมตร ประสิทธิภาพของการรีไซเคิลของแพลงวงจรอเล็กทรอนิกส์ขนาดอนุภาค 0.075-0.097 มิลลิเมตร จึงสูงกว่าแพลงวงจรอเล็กทรอนิกส์ขนาดอนุภาค 3-4 มิลลิเมตร

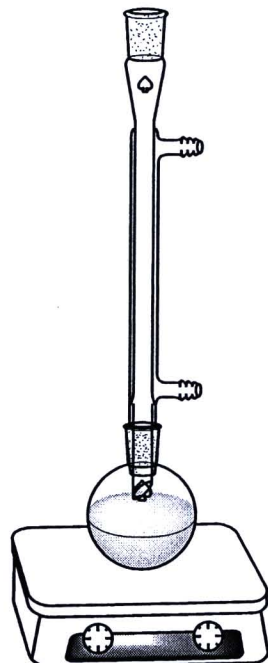
4.3 เวลาที่ใช้ในการรีไซเคิลอีพ็อกซี่เรซินในแพงวงจรอิเล็กทรอนิกส์

การทดลองเวลาที่ใช้ในการรีไซเคิลอีพ็อกซี่เรซินในแพงวงจรอิเล็กทรอนิกส์ โดยใช้เวลาในการรีไซเคิล 4 ชั่วโมง 6 ชั่วโมง 12 ชั่วโมง และ 24 ชั่วโมง รีไซเคิลด้วยเทคนิครีฟลักซ์ ตัวทำละลายเอทิลอะซีเตท 200 มิลลิลิตร แพงวงจรอิเล็กทรอนิกส์ขนาดอนุภาค 0.075-0.097 มิลลิเมตร 20 กรัม อุณหภูมิ 80 องศาเซลเซียส ผลการทดลองดังแสดงในตารางที่ 4-4

ตารางที่ 4-4 ร้อยละผลิตภัณฑ์จากการรีไซเคิลอีพ็อกซี่เรซินในแพงวงจรอิเล็กทรอนิกส์ที่ใช้เวลาในการรีไซเคิลต่าง ๆ

เวลาที่ใช้ในการรีไซเคิล (ชั่วโมง)	ร้อยละผลิตภัณฑ์
4	9.98 ± 0.35
6	25.15 ± 0.65
12	25.87 ± 0.82
24	25.18 ± 0.66

จากผลการทดลองเวลาที่ใช้ในการรีไซเคิลอีพ็อกซี่เรซินในแพงวงจรอิเล็กทรอนิกส์ โดยใช้เวลาในการรีไซเคิล 4 ชั่วโมง 6 ชั่วโมง 12 ชั่วโมง และ 24 ชั่วโมง ดังแสดงในตารางที่ 4-4 พบว่าเวลาในการรีไซเคิล 6 ชั่วโมง มีประสิทธิภาพของการรีไซเคิลอีพ็อกซี่เรซินในแพงวงจรอิเล็กทรอนิกส์เหมาะสมที่สุด คือ 25.15 ± 0.65 เปอร์เซ็นต์ เมื่อจาก รูปแบบของการรีไซเคิลด้วยเทคนิครีฟลักซ์เป็นการเติมแพงวงจรอิเล็กทรอนิกส์และตัวทำละลายลงในขวดก้นกลมใบเดียวกันแล้วให้ความร้อน ดังแสดงในภาพที่ 4-2



ภาพที่ 4-2 ชุดทดลองรีฟลักซ์

เมื่อเวลาในการรีไซเคิลเพิ่มขึ้น ตัวทำละลายจะมีปริมาณของอีพ็อกซีเรซินที่ละลายอยู่ภายในตัวทำละลายเพิ่มมากขึ้น เมื่อรีไซเคิลครบ 6 ชั่วโมง สารละลายก็จะอิ่มตัว ดังนั้นมีเพิ่มเวลาในการรีไซเคิลจาก 6 ชั่วโมง เป็น 12 ชั่วโมง และ 24 ชั่วโมง ร้อยละผลิตภัณฑ์จึงไม่เพิ่มขึ้น

4.4 การเพิ่มประสิทธิภาพของการรีไซเคิลอีพ็อกซีเรซินในแพลงวนารอเล็กทรอนิกส์

การทดลองการเพิ่มประสิทธิภาพของการรีไซเคิลอีพ็อกซีเรซินในแพลงวนารอเล็กทรอนิกส์โดยใช้เทคนิคในการรีไซเคิลทั้งหมด 4 เทคนิค ได้แก่ เทคนิครีฟลักซ์ เทคนิคชอกเกต เทคนิคชอกเดตกับชุดให้ความร้อน และเทคนิคถังความดัน ความดัน 15 บาร์ ใช้ตัวทำละลายเอทิลอะซีเตท 200 มิลลิลิตร แพลงวนารอเล็กทรอนิกส์ขนาดอนุภาค 0.075-0.097 มิลลิเมตร 20 กรัม อุณหภูมิ 80 องศาเซลเซียส เวลา 6 ชั่วโมง ผลการทดลองดังแสดงในตารางที่ 4-5

ตารางที่ 4-5 ร้อยละผลิตภัณฑ์การรีไซเคิลอีพ็อกซี่เรซินในแพลงวารอิเล็กทรอนิกส์ทั้ง 4 เทคนิค

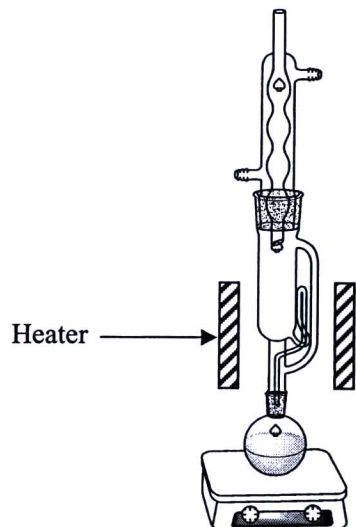
เทคนิคการรีไซเคิล	ร้อยละผลิตภัณฑ์
รีฟลักช์	25.15 ± 0.65
ซอกเกต	29.20 ± 0.55
เทคนิคซอกเกตกับชุดให้ความร้อน	38.01 ± 0.34
ถังความดัน	50.46 ± 0.69

จากผลการทดลองการเพิ่มประสิทธิภาพของการรีไซเคิลอีพ็อกซี่เรซินในแพลงวารอิเล็กทรอนิกส์ โดยใช้เทคนิคในการรีไซเคิลทั้งหมด 4 เทคนิค ได้แก่ เทคนิครีฟลักช์ เทคนิคซอกเกต เทคนิคซอกเกตกับชุดให้ความร้อนและเทคนิคถังความดัน ความดัน 15 บาร์ ดังแสดงในตารางที่ 4-5 พบว่า เทคนิคถังความดันมีประสิทธิภาพของการรีไซเคิลอีพ็อกซี่เรซินในแพลงวารอิเล็กทรอนิกส์สูงสุด คือ 50.46 เปอร์เซ็นต์ รองลงมา คือ เทคนิคซอกเกตกับชุดให้ความร้อน 38.01 เปอร์เซ็นต์ เทคนิคซอกเกต 29.20 เปอร์เซ็นต์ และเทคนิครีฟลักช์ 25.15 เปอร์เซ็นต์ ตามลำดับ

เทคนิครีฟลักช์มีประสิทธิภาพของการรีไซเคิลต่ำที่สุด เนื่องจาก เทคนิครีฟลักช์เป็นการเดินแพลงวารอิเล็กทรอนิกส์และตัวทำละลายลงในขวดก้นกลมใบเดียวกันแล้วให้ความร้อน เมื่อตัวทำละลายมีปริมาณของอีพ็อกซี่เรซินที่ละลายอยู่ในตัวทำละลายจนถึงจุดอิ่มตัว ตัวทำละลายก็ไม่สามารถรีไซเคิลอีพ็อกซี่เรซินในแพลงวารอิเล็กทรอนิกส์ได้อีก

เทคนิคซอกเกตมีประสิทธิภาพของการรีไซเคิลสูงกว่าเทคนิครีฟลักช์ เนื่องจาก เทคนิคซอกเกตจะเติมแพลงวารอิเล็กทรอนิกส์ในกระชายทิมเบิล (Soxhlet Thimble) ที่อยู่ในเชมนเบอร์ (Soxhlet Chamber) เติมตัวทำละลายในขวดก้นกลมด้านล่าง ดังแสดงในภาพที่ 2-14 ทำให้ตัวทำละลายในเชมนเบอร์เบริบเนมีอนเป็นตัวทำละลายใหม่

เทคนิคซอกเกตกับชุดให้ความร้อนมีประสิทธิภาพของการรีไซเคิลสูงกว่าเทคนิครีฟลักช์ และเทคนิคซอกเกต เนื่องจาก เทคนิคซอกเกตกับชุดให้ความร้อนจะใช้ชุดทดลองซอกเกตและมีการให้ความร้อนที่เชมนเบอร์ของชุดทดลองซอกเกต ดังแสดงในภาพที่ 4-3



ภาพที่ 4-3 ชุดทดลองพัฒนาหัวรีฟลักซ์กับชอกเลต

เปรียบเสมือนว่า เช่น เบอร์ของชุดทดลองชอกเลต เป็นชุดทดลองรีฟลักซ์ เมื่อตัวทำละลายมีอุณหภูมิสูงขึ้น ทำให้ประสิทธิภาพของการรีไซเคิลเพิ่มขึ้น

เทคนิคถังความดันมีประสิทธิภาพของการรีไซเคิลอีพีโอดีซีเรซินในแพงวงจรอิเล็กทรอนิกส์สูงสุด เนื่องจาก การรีไซเคิลด้วยชุดทดลองถังความดันจะเกิดความดันขึ้นภายในถังความดัน ตามความสัมพันธ์ของความดันกับอุณหภูมิ จากกฎของแก๊สสมบูรณ์ (Ideal Gas Law) ดังแสดงในสมการที่ (4-2)

$$PV=nRT \quad (4-2)$$

เมื่อ

P = ความดัน (Pascals)

V = ปริมาตร (m^3)

n = จำนวนโมล

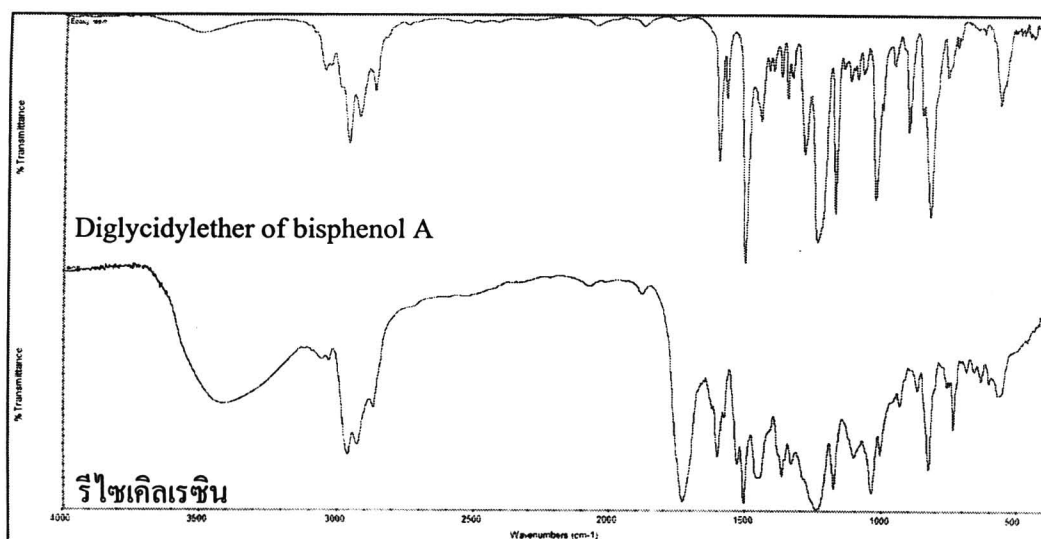
R = ค่าคงที่ของแก๊ส ($8.314472 \text{ J}\cdot\text{K}^{-1}\cdot\text{mol}^{-1}$)

T = อุณหภูมิ (Kelvin)

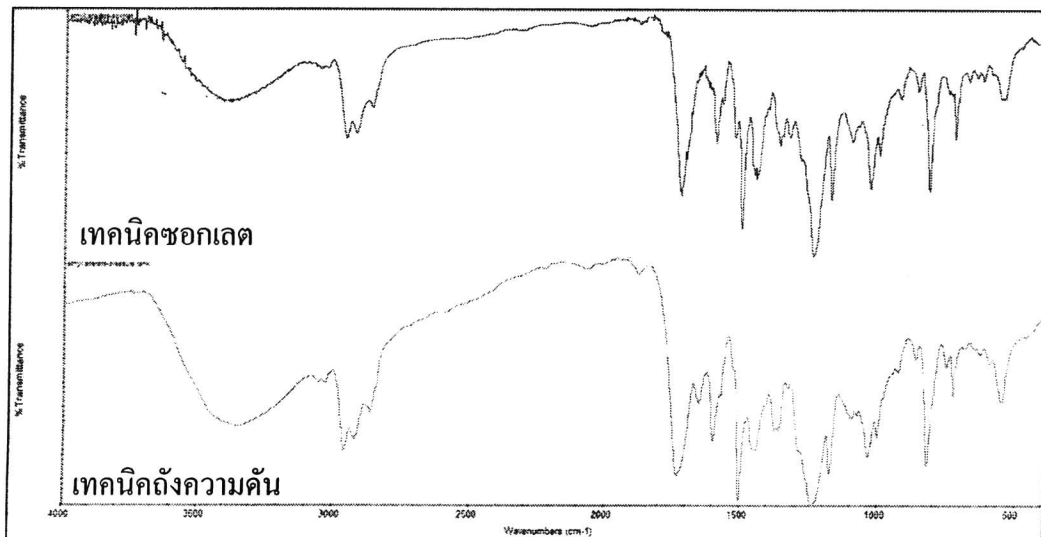
เมื่อความดันเพิ่มขึ้นทำให้อุณหภูมิสูงเดือดของตัวทำละลายสูงขึ้น ส่งผลให้อุณหภูมิของตัวทำละลายในถังความดันสูงกว่าอุณหภูมิของตัวทำละลายปกติ ทำให้ประสิทธิภาพของการรีไซเคิลเพิ่มขึ้น

4.5 การศึกษาหมู่ฟังก์ชันหลักด้วยเทคนิคฟรีเรียร์รานฟอร์มอินฟารेडสเปกโตรสโคปี

การศึกษาหมู่ฟังก์ชันหลักด้วยเทคนิคฟรีเรียร์รานฟอร์มอินฟารेडสเปกโตรสโคปี รีไซเคิล อีพ็อกซี่เรซินในแพลงวงจรอิเล็กทรอนิกส์ด้วยเทคนิคฟลักก์ ตัวทำละลายเอทิลอะซีเตท 200 มิลลิลิตร แพลงวงจรอิเล็กทรอนิกส์ขนาดอนุภาค 0.075-0.097 มิลลิเมตร 20 กรัม อุณหภูมิ 80 องศาเซลเซียส เวลา 6 ชั่วโมง ใช้รีไซเคิลเรซินในการทดสอบ 0.01 มิลลิลิตร บน KBr Cell ผลการทดลอง ดังแสดงในภาพที่ 4-4 และ 4-5



ภาพที่ 4-4 FTIR spectra ของ Diglycidylether of Bisphenol A และรีไซเคิลเรซินด้วยเทคนิค
ซอกเกต



ภาพที่ 4-5 FTIR spectra ของรีไซเคิลเรซินจากเทคนิคชอกเลตและเทคนิคถังความดัน

จากการศึกษาและเปรียบเทียบหมู่ฟังก์ชันหลักของรีไซเคิลเรซินและรีไซเคิลเรซินจากเทคนิคชอกเลตกับเทคนิคถังความดันด้วยเครื่องฟูเรียร์傅รานฟอร์มอินฟราเรดสเปกโตรสโคปี ดังแสดงในภาพที่ 4-4 และ 4-5 พนว่า หมู่ฟังก์ชันหลักของรีไซเคิลเรซินที่ความยาวคลื่น 1480-1540 cm^{-1} ของหมู่ฟังก์ชันอะโรมาติก ความยาวคลื่น 1020-1040 cm^{-1} ของหมู่ฟังก์ชัน phenyl-O-C มีลักษณะใกล้เคียงกันกับหมู่ฟังก์ชันหลักของ Diglycidylether of Bisphenol A และเมื่อเปรียบเทียบ หมู่ฟังก์ชันหลักของรีไซเคิลเรซินจากเทคนิคชอกเลตกับเทคนิคถังความดัน พนว่า หมู่ฟังก์ชันหลักของรีไซเคิลเรซินจากเทคนิคชอกเลตกับเทคนิคถังความดันมีลักษณะใกล้เคียงกัน

4.6 สมบัติเชิงกลของชิ้นงานทดสอบ

การทดสอบสมบัติเชิงกลของชิ้นงานทดสอบจากการรีไซเคิลทางเคมี คือ อีพ็อกซีเรซินใหม่ ผสมกับรีไซเคิลเรซินจากการรีไซเคิลด้วยเทคนิคถังความดันและชิ้นงานทดสอบจากการรีไซเคิลทางกล คือ อีพ็อกซีเรซินใหม่ผสมกับแพลงวารอติลีกทรอนิกส์บีด ขนาด 60-80 mesh 80-160 mesh และ 160-200 mesh ในอัตราส่วนผสมร้อยละ 10 20 และ 30 โดยน้ำหนัก เพื่อเปรียบเทียบความแข็ง ความด้านทานแรงกระแทก ความด้านทานแรงดึง เบอร์เซ็นต์การยึดดึง และมอคูลัส

4.6.1 การทดสอบความแข็ง

การทดสอบความแข็งของอีพ็อกซี่เรซิน (E0) อีพ็อกซี่เรซินใหม่ผสมริไชเคิลเรซิน (E1 ถึง E3) และอีพ็อกซี่เรซินใหม่ผสมแพรงวารอเล็กทรอนิกส์บด ขนาด 60-80 mesh (E4 ถึง E6) 80-160 mesh (E7 ถึง E9) และ 160-200 mesh (E10 ถึง E12) ในอัตราส่วนผสมร้อยละ 10 20 และ 30 โดยนำหนักทดสอบตามมาตรฐาน ASTM D 2240 ผลการทดลองดังแสดงในตารางที่ 4-6

ตารางที่ 4-6 ความแข็งของชิ้นงานทดสอบอีพ็อกซี่เรซิน อีพ็อกซี่เรซินใหม่ผสมริไชเคิลเรซินและอีพ็อกซี่เรซินใหม่ผสมแพรงวารอเล็กทรอนิกส์บด ขนาด 60-80 mesh 80-160 mesh และ 160-200 mesh ในอัตราส่วนผสมร้อยละ 10 20 และ 30 โดยนำหนัก

ชิ้นงานทดสอบ	ค่าความแข็ง
E0	77.88 ± 0.32
E1	76.97 ± 0.54
E2	77.00 ± 0.28
E3	76.90 ± 1.01
E4	77.18 ± 0.37
E5	78.13 ± 0.48
E6	77.65 ± 1.03
E7	77.50 ± 0.56
E8	77.90 ± 0.55
E9	77.93 ± 0.96
E10	78.03 ± 0.20
E11	78.78 ± 0.64
E12	79.00 ± 0.96

จากผลการทดสอบความแข็งของอีพ็อกซี่เรซิน (E0) อีพ็อกซี่เรซินใหม่ผสมริไชเคิลเรซิน (E1 ถึง E3) และอีพ็อกซี่เรซินใหม่ผสมแพรงวารอเล็กทรอนิกส์บด ขนาด 60-80 mesh (E4 ถึง E6) 80-160 mesh (E7 ถึง E9) และ 160-200 mesh (E10 ถึง E12) ในอัตราส่วนผสมร้อยละ 10 20 และ 30 โดยนำหนัก ดังแสดงในตารางที่ 4-6 พนว่า ชิ้นงานทดสอบ E0 ถึง E12 มีค่าความแข็งใกล้เคียง

กัน เนื่องจาก รีไซเคิลเรซินและแพงวงจรอเล็กทรอนิกส์บดที่ผสมกับอีพ็อกซี่เรซินใหม่ มีปริมาณไม่มากพอที่จะทำให้ค่าความแข็งของชิ้นงานทดสอบอีพ็อกซี่เรซินใหม่ผสมรีไซเคิลเรซินและอีพ็อกซี่เรซินใหม่ผสมแพงวงจรอเล็กทรอนิกส์บดเปลี่ยนแปลง

4.6.2 การทดสอบความต้านทานแรงกระแทก

การทดสอบความต้านทานแรงกระแทกของอีพ็อกซี่เรซิน (E0) อีพ็อกซี่เรซินใหม่ผสมรีไซเคิลเรซิน (E1 ถึง E3) และอีพ็อกซี่เรซินใหม่ผสมแพงวงจรอเล็กทรอนิกส์บด ขนาด 60-80 mesh (E4 ถึง E6) 80-160 mesh (E7 ถึง E9) และ 160-200 mesh (E10 ถึง E12) ในอัตราส่วนผสมร้อยละ 10 20 และ 30 โดยนำหัวนักทดสอบตามมาตรฐาน ASTM D 256 ทดสอบแรงกระแทกแบบ Izod นำหัวนักค้อน 2.75 จูต ผลการทดลองดังแสดงในตารางที่ 4-7

ตารางที่ 4-7 ความต้านทานแรงกระแทกของชิ้นงานทดสอบอีพ็อกซี่เรซิน อีพ็อกซี่เรซินใหม่ผสมรีไซเคิลเรซินและอีพ็อกซี่เรซินใหม่ผสมแพงวงจรอเล็กทรอนิกส์บด ขนาด 60-80 mesh 80-160 mesh และ 160-200 mesh ในอัตราส่วนผสมร้อยละ 10 20 และ 30 โดยนำหัวนัก

ชิ้นงานทดสอบ	ความต้านทานแรงกระแทก (kJ/m^2)
E0	4.30 ± 0.18
E1	4.36 ± 0.24
E2	4.30 ± 0.15
E3	4.15 ± 0.47
E4	4.05 ± 0.14
E5	3.86 ± 0.27
E6	3.83 ± 0.09
E7	4.08 ± 0.29
E8	3.76 ± 0.18
E9	3.83 ± 0.09
E10	4.24 ± 0.28

ตารางที่ 4-7 (ต่อ)

E11	4.18 ± 0.21
E12	3.97 ± 0.12

จากผลการทดสอบความด้านทานแรงกระแทกของอีพ็อกซี่เรซิน (E0) อีพ็อกซี่เรซินใหม่ผสมริไชเคิลเรซิน (E1 ถึง E3) และอีพ็อกซี่เรซินใหม่ผสมแพลงวจรอิเล็กทรอนิกส์บด ขนาด 60-80 mesh (E4 ถึง E6) 80-160 mesh (E7 ถึง E9) และ 160-200 mesh (E10 ถึง E12) ในอัตราส่วนผสมร้อยละ 10 20 และ 30 โดยนำหัวนัก ดังแสดงในตารางที่ 4-7 พบว่า ชิ้นงานทดสอบ E1 E2 และ E3 สามารถรับแรงกระแทกได้มากกว่าชิ้นงานทดสอบ E4 ถึง E12 เล็กน้อย เนื่องจาก ริไชเคิลเรซินมีลักษณะเป็นของเหลวหนืด ใกล้เคียงกับเรซินใหม่แต่แพลงวจรอิเล็กทรอนิกส์มีลักษณะเป็นของแข็งและอีพ็อกซี่เรซินใหม่ผสมริไชเคิลเรซินมีพลังงานพื้นผิวมากกว่าและผสมเป็นเนื้อเดียวกันกับอีพ็อกซี่เรซินใหม่ได้ดีกว่าอีพ็อกซี่เรซินใหม่ผสมแพลงวจรอิเล็กทรอนิกส์บด ส่งผลให้ความด้านทานแรงกระแทกมากกว่า

เมื่อพิจารณาชิ้นงานทดสอบอีพ็อกซี่เรซินใหม่ผสมริไชเคิลเรซิน (E1 ถึง E3) ดังแสดงในตารางที่ 4-7 พบว่า ชิ้นงานทดสอบ E1 สามารถรับแรงกระแทกได้สูงที่สุดและมีแนวโน้มลดลงเล็กน้อยเมื่อปริมาณของริไชเคิลเรซินเพิ่มขึ้น เนื่องจาก การริไชเคิล อีพ็อกซี่เรซินในแพลงวจรอิเล็กทรอนิกส์ด้วยตัวทำละลาย อุณหภูมิ และความดัน ทำให้ไม่เกิดกลุ่มของริไชเคิลเรซิน เกิดการเสื่อมสภาพ นำหัวนักไม่เกิดกลุ่มลดลงและการกระจายนำหัวนักไม่เกิดกลุ่มเพิ่มขึ้น [12] เมื่อผสมริไชเคิลเรซินในปริมาณมากขึ้น ส่งผลให้ความด้านทานแรงกระแทกลดลง

เมื่อพิจารณาชิ้นงานทดสอบอีพ็อกซี่เรซินใหม่ผสมแพลงวจรอิเล็กทรอนิกส์บด ขนาด 60-80 mesh (E4 ถึง E6) 80-160 mesh (E7 ถึง E9) และ 160-200 mesh (E10 ถึง E12) ดังแสดงในตารางที่ 4-7 พบว่า ชิ้นงานทดสอบ E4 E7 และ E10 มีความด้านทานแรงกระแทกสูงสุดและชิ้นงานทดสอบ E10 ถึง E12 มีความด้านทานแรงกระแทกมากกว่าชิ้นงานทดสอบ E4 ถึง E9 เนื่องจากชิ้นงานทดสอบ E4 E7 และ E10 มีปริมาณแพลงวจรอิเล็กทรอนิกส์บดน้อยที่สุดและชิ้นงานทดสอบ E10 ถึง E12 มีขนาดอนุภาคของอีพ็อกซี่เรซินในแพลงวจรอิเล็กทรอนิกส์เล็กที่สุดทำให้มีพื้นที่ผิว

มากที่สุด เมื่อผสมกับอีพ็อกซี่เรซินใหม่จึงเกิดการกระจายตัวและยึดเกาะได้ดีกว่าชิ้นงานทดสอบ E4 ถึง E9 ส่งผลให้ความต้านทานแรงกระแทกสูงกว่า

4.6.3 การทดสอบความต้านทานแรงดึง เปอร์เซ็นต์การยึดคงและมอคูลัสยึดคง

การทดสอบความต้านทานแรงดึง เปอร์เซ็นต์การยึดคงและมอคูลัสยึดคงของอีพ็อกซี่เรซินใหม่ (E0) อีพ็อกซี่เรซินใหม่ผสมริไซเคิลเรซิน (E1 ถึง E3) และอีพ็อกซี่เรซินใหม่ผสมกับแพรงเจร์ อิเล็กทรอนิกส์บด ขนาด 60-80 mesh (E4 ถึง E6) 80-160 mesh (E7 ถึง E9) และ 160-200 mesh (E10 ถึง E12) ในอัตราส่วนผสมร้อยละ 10 20 และ 30 โดยนำหัวนักทดสอบตามมาตรฐาน ASTM D 638 ผลการทดลองดังแสดงในตารางที่ 4-8 และภาพที่ 4-6

ตารางที่ 4-8 ความต้านทานแรงดึงและเปอร์เซ็นต์การยึดคงของชิ้นงานทดสอบอีพ็อกซี่เรซิน อีพ็อกซี่เรซินใหม่ผสมริไซเคิลเรซินและอีพ็อกซี่เรซินใหม่ผสมแพรงเจร์ อิเล็กทรอนิกส์บด ขนาด 60-80 mesh 80-160 mesh และ 160-200 mesh ในอัตราส่วนผสมร้อยละ 10 20 และ 30 โดยนำหัวนัก

ชิ้นงานทดสอบ	ความต้านทานแรงดึง (MPa)	เปอร์เซ็นต์การยึดคง (เปอร์เซ็นต์)
E0	76.02 ± 1.9	5.63 ± 0.35
E1	75.15 ± 1.25	5.22 ± 0.06
E2	72.32 ± 0.58	5.20 ± 0.23
E3	64.02 ± 3.82	5.30 ± 0.54
E4	41.36 ± 3.32	2.69 ± 0.13
E5	41.13 ± 2.31	2.70 ± 0.23
E6	39.06 ± 4.02	2.68 ± 0.11
E7	53.21 ± 2.56	3.16 ± 0.11
E8	50.35 ± 2.25	3.21 ± 0.16
E9	44.67 ± 2.91	3.38 ± 0.22
E10	65.08 ± 1.77	3.57 ± 0.22

ตารางที่ 4-8 (ต่อ)

E11	61.32 ± 0.80	3.58 ± 0.24
E12	60.16 ± 1.38	3.76 ± 0.36

จากผลการทดสอบความด้านทานแรงดึงของอีพ็อกซีเรซิน (E0) อีพ็อกซีเรซินใหม่ผสมริไชเคลิเรซิน (E1 ถึง E3) และอีพ็อกซีเรซินใหม่ผสมแพลงวงจรอิเล็กทรอนิกส์บด ขนาด 60-80 mesh (E4 ถึง E6) 80-160 mesh (E7 ถึง E9) และ 160-200 mesh (E10 ถึง E12) ในอัตราส่วนร้อยละ 10 20 และ 30 โดยน้ำหนัก ดังแสดงในตารางที่ 4-8 พบว่า ชิ้นงานทดสอบ E1 ถึง E3 สามารถด้านทานแรงดึงได้มากกว่าชิ้นงานทดสอบ E4 ถึง E12 เนื่องจาก ริไชเคลิเรซินมีลักษณะเป็นของเหลวหนืดໄกัดเคียงกับเรซินใหม่แต่แพลงวงจรอิเล็กทรอนิกส์มีลักษณะเป็นของแข็งและอีพ็อกซีเรซินใหม่ผสมริไชเคลิเรซินมีพลังงานพื้นผิวระหว่างอีพ็อกซีเรซินใหม่กับริไชเคลิเรซินมากกว่าอีพ็อกซีเรซินใหม่กับเส้นใยแก้วที่เป็นส่วนประกอบของแพลงวงจรอิเล็กทรอนิกส์บด ดังนั้น อีพ็อกซีเรซินใหม่ผสมริไชเคลิเรซินจึงสามารถสมรรถนะเป็นเนื้อเดียวกันกับอีพ็อกซีเรซินใหม่ได้ดีกว่าแพลงวงจรอิเล็กทรอนิกส์บด ส่งผลให้ความด้านทานแรงดึงมากกว่า

เมื่อพิจารณาชิ้นงานทดสอบอีพ็อกซีเรซินใหม่ผสมริไชเคลิเรซิน (E1 ถึง E3) ดังแสดงในตารางที่ 4-8 พบว่า ชิ้นงานทดสอบ E1 สามารถด้านทานแรงดึงได้สูงสุดและมีแนวโน้มลดลงเมื่อปริมาณริไชเคลิเรซินเพิ่มขึ้น เนื่องจาก การริไชเคลอีพ็อกซีเรซินในแพลงวงจรอิเล็กทรอนิกส์ด้วยตัวทำละลาย อะโรามาติก แล้วความดัน ทำให้ไม่เกิดขุ่นของริไชเคลิเรซินเกิดการเสื่อมสภาพ น้ำหนักไม่ลดลงและการกระจายน้ำหนักไม่เกิดขุ่นเพิ่มขึ้น เมื่อผสมริไชเคลิเรซินในปริมาณมากขึ้น ส่งผลให้ความด้านทานแรงดึงลดลง ซึ่งเป็นเหตุผลเดียวกับการทดสอบแรงกระแทก

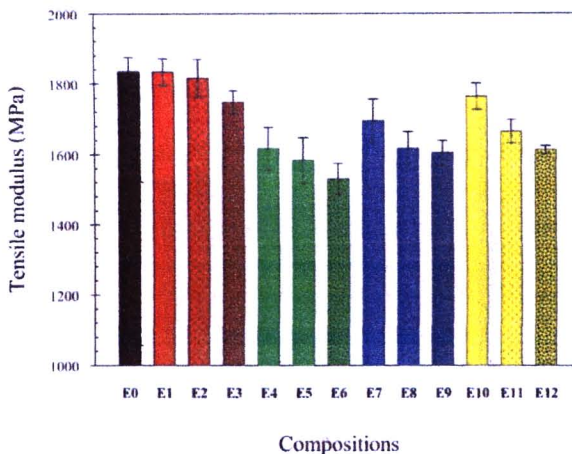
เมื่อพิจารณาชิ้นงานทดสอบอีพ็อกซีเรซินใหม่ผสมแพลงวงจรอิเล็กทรอนิกส์บด ขนาด 60-80 mesh (E4 ถึง E6) 80-160 mesh (E7 ถึง E9) และ 160-200 mesh (E10 ถึง E12) ดังแสดงในตารางที่ 4-8 พบว่า ชิ้นงานทดสอบ E4 E7 และ E10 มีความด้านทานแรงดึงสูงสุดและชิ้นงานทดสอบ E10 ถึง E12 มีความด้านทานแรงดึงมากกว่าชิ้นงานทดสอบ E4 ถึง E9 เนื่องจาก ชิ้นงานทดสอบ E4 E7 และ E10 มีปริมาณแพลงวงจรอิเล็กทรอนิกส์บดน้อยที่สุดและชิ้นงานทดสอบ E10 ถึง E12 มีขนาดอนุภาคของอีพ็อกซีเรซินในแพลงวงจรอิเล็กทรอนิกส์เล็กที่สุดทำให้มีพื้นที่ผิว

มากที่สุด เมื่อผสมกับอีพ็อกซี่เรซินใหม่จึงเกิดการกระจายตัวและยึดเกาะได้ดีกว่าชิ้นงานทดสอบ E4 ถึง E9 ส่งผลให้ความต้านทานแรงดึงสูงกว่า

จากผลการทดสอบเปอร์เซ็นต์การยึดคงของอีพ็อกซี่เรซิน (E0) อีพ็อกซี่เรซินใหม่ผสมริไชเคิลเรซิน (E1 ถึง E3) และอีพ็อกซี่เรซินใหม่ผสมแพลงวารอฟอรอนิกส์บด ขนาด 60-80 mesh (E4 ถึง E6) 80-160 mesh (E7 ถึง E9) และ 160-200 mesh (E10 ถึง E12) ในอัตราส่วนผสมร้อยละ 10 20 และ 30 โดยน้ำหนัก ดังแสดงในตารางที่ 4-8 พบว่า ชิ้นงานทดสอบ E1 ถึง E3 มีเปอร์เซ็นต์การยึดคงมากกว่าชิ้นงานทดสอบ E4 ถึง E12 อย่างเห็นได้ชัด เนื่องจาก ริไชเคิลเรซินมีลักษณะเป็นของเหลวหนืดใกล้เคียงกับเรซินใหม่ การผสมอีพ็อกซี่เรซินใหม่กับริไชเคิลเรซินจึงสามารถผสมรวมเป็นเนื้อเดียวกันได้ดีกว่าอีพ็อกซี่เรซินใหม่ผสมแพลงวารอฟอรอนิกส์บด ส่งผลให้เปอร์เซ็นต์การยึดคงมากกว่า

เมื่อพิจารณาชิ้นงานทดสอบอีพ็อกซี่เรซินใหม่ผสมริไชเคิลเรซิน (E1 ถึง E3) ดังแสดงในตารางที่ 4-8 พบว่า ชิ้นงานทดสอบ E1 มีเปอร์เซ็นต์การยึดคงต่ำสุดและมีแนวโน้มเพิ่มขึ้นเล็กน้อย เมื่อปริมาณริไชเคิลเรซินเพิ่มขึ้น ทั้งนี้อาจเนื่องมาจากการริไชเคิลอีพ็อกซี่เรซินในแพลงวารอฟอรอนิกส์ด้วยตัวทำละลาย อุณหภูมิ และความดัน ทำให้ไม่เกิดกลุ่มของริไชเคิลเรซิน เกิดการเสื่อมสภาพ น้ำหนักไม่ลดลงและการกระจายน้ำหนักไม่ลดลงเพิ่มมากขึ้น ส่งผลให้เกิดการเกี้ยวพันของสายโซ่ไม่เกิดเพิ่มขึ้น เมื่อผสมริไชเคิลเรซินในปริมาณมากขึ้น ทำให้เปอร์เซ็นต์การยึดคงเพิ่มมากขึ้น

เมื่อพิจารณาชิ้นงานทดสอบอีพ็อกซี่เรซินใหม่ผสมแพลงวารอฟอรอนิกส์บด ขนาด 60-80 mesh (E4 ถึง E6) 80-160 mesh (E7 ถึง E9) และ 160-200 mesh (E10 ถึง E12) ดังแสดงในตารางที่ 4-8 พบว่า ชิ้นงานทดสอบ E4 E7 และ E10 มีเปอร์เซ็นต์การยึดคงต่ำสุดและชิ้นงานทดสอบ E10 ถึง E12 มีเปอร์เซ็นต์การยึดคงสูงกว่าชิ้นงานทดสอบ E4 ถึง E9 เนื่องจาก พลังงานพื้นผิวระหว่างอีพ็อกซี่เรซินใหม่กับเส้นใยแก้วในแพลงวารอฟอรอนิกส์บดมีพลังงานต่ำ ดังนั้น การผสมอีพ็อกซี่เรซินใหม่กับแพลงวารอฟอรอนิกส์บดปริมาณน้อยและแพลงวารอฟอรอนิกส์บดขนาด 160-200 mesh มีพื้นที่ผิวมากที่สุด ส่งผลให้เปอร์เซ็นต์การยึดคงสูงกว่า

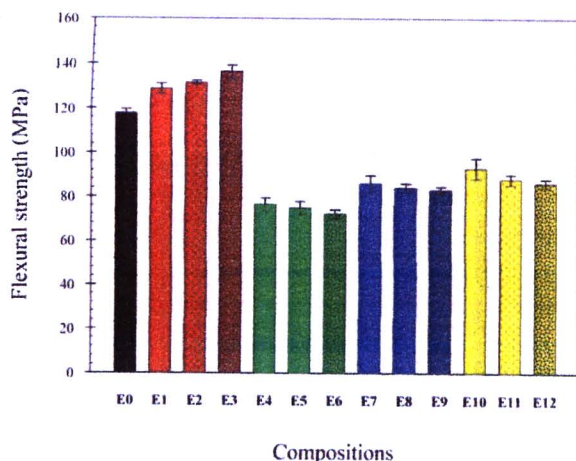


ภาพที่ 4-6 มอคูลัสยีดคึ่งของชิ้นงานทดสอบอีพ็อกซี่เรซิน อีพ็อกซี่เรซินใหม่ผสมริไชเคิลเรซิน และอีพ็อกซี่เรซินใหม่ผสมแพลงวงจรอิเล็กทรอนิกส์บด ขนาด 60-80 mesh 80-160 mesh และ 160-200 mesh ในอัตราส่วนผสมร้อยละ 10 20 และ 30 โดยน้ำหนัก

จากผลการทดสอบมอคูลัสยีดคึ่งของอีพ็อกซี่เรซิน (E0) อีพ็อกซี่เรซินใหม่ผสมริไชเคิลเรซิน (E1 ถึง E3) และอีพ็อกซี่เรซินใหม่ผสมแพลงวงจรอิเล็กทรอนิกส์บด ขนาด 60-80 mesh (E4 ถึง E6) 80-160 mesh (E7 ถึง E9) และ 160-200 mesh (E10 ถึง E12) ในอัตราส่วนร้อยละ 10 20 และ 30 โดยน้ำหนัก ดังแสดงในภาพที่ 4-6 พบว่า ผลการทดลองเป็นไปในทิศทางเดียวกันกับสมบัติความต้านทานแรงดึงและสมบัติความต้านทานแรงกระแทก กล่าวคือ ชิ้นงานทดสอบ E1 ถึง E3 มีมอคูลัสยีดคึ่งสูงกว่าชิ้นงานทดสอบ E4 ถึง E12 และชิ้นงานทดสอบ E1 มีมอคูลัสยีดคึ่งสูงสุด และมีแนวโน้มลดลงเมื่อปริมาณริไชเคิลเรซินเพิ่มขึ้น ชิ้นงานทดสอบ E4 E7 และ E10 มีมอคูลัสยีดคึ่งสูงสุดและชิ้นงานทดสอบ E10 ถึง E12 มีมอคูลัสยีดคึ่งสูงกว่าชิ้นงานทดสอบ E4 ถึง E9

4.6.4 การทดสอบความต้านทานแรงดึงดองและมอคูลัสดึงดอง

การทดสอบความต้านทานแรงดึงดองและมอคูลัสดึงดองของอีพ็อกซี่เรซินใหม่ (E0) อีพ็อกซี่เรซินใหม่ผสมริไชเคิลเรซิน (E1 ถึง E3) และอีพ็อกซี่เรซินใหม่ผสมกับแพลงวงจรอิเล็กทรอนิกส์บด ขนาด 60-80 mesh (E4 ถึง E6) 80-160 mesh (E7 ถึง E9) และ 160-200 mesh (E10 ถึง E12) ในอัตราส่วนร้อยละ 10 20 และ 30 โดยน้ำหนัก ทดสอบตามมาตรฐาน ASTM D 790 ผลการทดลองดังแสดงในภาพที่ 4-7 และภาพที่ 4-8



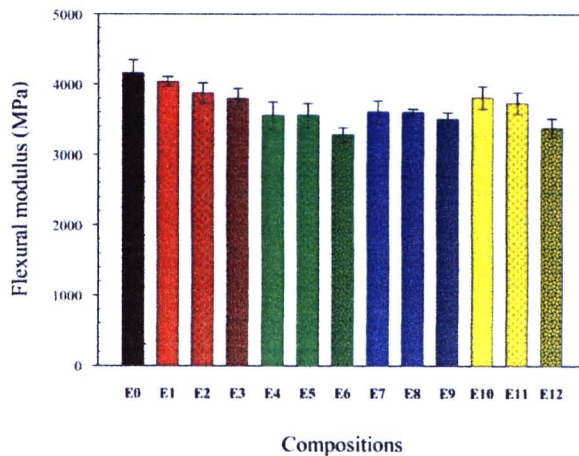
ภาพที่ 4-7 ความต้านทานแรงดึงของชิ้นงานทดสอบอีพ็อกซีเรซิน อีพ็อกซีเรซินใหม่ผสมริไชเคลเรซินและอีพ็อกซีเรซินใหม่ผสมแพลงวารอเล็กทรอนิกส์บด ขนาด 60-80 mesh 80-160 mesh และ 160-200 mesh ในอัตราส่วนผสมร้อยละ 10 20 และ 30 โดยนำหนัก

จากผลการทดสอบความต้านทานแรงดึงของอีพ็อกซีเรซิน (E0) อีพ็อกซีเรซินใหม่ผสมริไชเคลเรซิน (E1 ถึง E3) และอีพ็อกซีเรซินใหม่ผสมแพลงวารอเล็กทรอนิกส์บด ขนาด 60-80 mesh (E4 ถึง E6) 80-160 mesh (E7 ถึง E9) และ 160-200 mesh (E10 ถึง E12) ในอัตราส่วนผสมร้อยละ 10 20 และ 30 โดยนำหนัก ดังแสดงในภาพที่ 4-7 พบว่า ชิ้นงานทดสอบ E1 ถึง E3 สามารถต้านทานแรงดึงได้มากกว่าชิ้นงานทดสอบ E4 ถึง E12 เนื่องจาก ริไชเคลเรซินมีลักษณะเป็นของเหลวหนืดໄกลีดเคียงกับเรซินใหม่แต่แพลงวารอเล็กทรอนิกส์มีลักษณะเป็นของแข็งและอีพ็อกซีเรซินใหม่ผสมริไชเคลเรซินมีพลังงานพื้นผิวระหว่างอีพ็อกซีเรซินใหม่กับริไชเคลเรซินมากกว่าอีพ็อกซีเรซินใหม่กับเส้นใยแก้วที่เป็นส่วนประกอบของแพลงวารอเล็กทรอนิกส์บด ดังนั้น อีพ็อกซีเรซินใหม่ผสมริไชเคลเรซินจึงสามารถผสมรวมเป็นเนื้อเดียวกันกับอีพ็อกซีเรซินใหม่ได้ดีกว่าแพลงวารอเล็กทรอนิกส์บด ส่งผลให้ความต้านทานแรงดึงมากกว่า

เมื่อพิจารณาชิ้นงานทดสอบอีพ็อกซีเรซินใหม่ผสมริไชเคลเรซิน (E1 ถึง E3) ดังแสดงในภาพที่ 4-7 พบว่า ชิ้นงานทดสอบ E1 สามารถต้านทานแรงดึงได้สูงสุดและมีแนวโน้มลดลงเมื่อปริมาณริไชเคลเรซินเพิ่มขึ้น เนื่องจาก การริไชเคลอีพ็อกซีเรซินในแพลงวารอเล็กทรอนิกส์ด้วยตัวทำละลาย อุณหภูมิ และความดัน ทำให้ไม่เกิดของริไชเคลเรซินเกิดการเสื่อมสภาพ

นำหนักโนเมเลกุลลดลงและการกระจายนำหนักโนเมเลกุลเพิ่มขึ้น เมื่อผสมรีไซเคิลเรซินในปริมาณมากขึ้น ส่งผลให้ความต้านทานแรงดึงลดลง ซึ่งเป็นเหตุผลเดียวกับการทดสอบแรงกระแทก

เมื่อพิจารณาชิ้นงานทดสอบอีพ็อกซี่เรซินใหม่ผสมแพลงวารอิเล็กทรอนิกส์บด ขนาด 60-80 mesh (E4 ถึง E6) 80-160 mesh (E7 ถึง E9) และ 160-200 mesh (E10 ถึง E12) ดังแสดงในภาพที่ 4-7 พบว่า ชิ้นงานทดสอบ E4 E7 และ E10 มีความต้านทานแรงดึงของสูงสุดและชิ้นงานทดสอบ E10 ถึง E12 มีความต้านทานแรงดึงมากกว่าชิ้นงานทดสอบ E4 ถึง E9 เนื่องจาก ชิ้นงานทดสอบ E4 E7 และ E10 มีปริมาณแพลงวารอิเล็กทรอนิกส์บดน้อยที่สุดและชิ้นงานทดสอบ E10 ถึง E12 มีขนาดอนุภาคของอีพ็อกซี่เรซินใหม่แพลงวารอิเล็กทรอนิกส์เล็กที่สุดทำให้มีพื้นที่ผิวมากที่สุด เมื่อผสมกับอีพ็อกซี่เรซินใหม่จึงเกิดการกระจายตัวและยึดเกาะได้ดีกว่าชิ้นงานทดสอบ E4 ถึง E9 ส่งผลให้ความต้านทานแรงดึงสูงกว่า



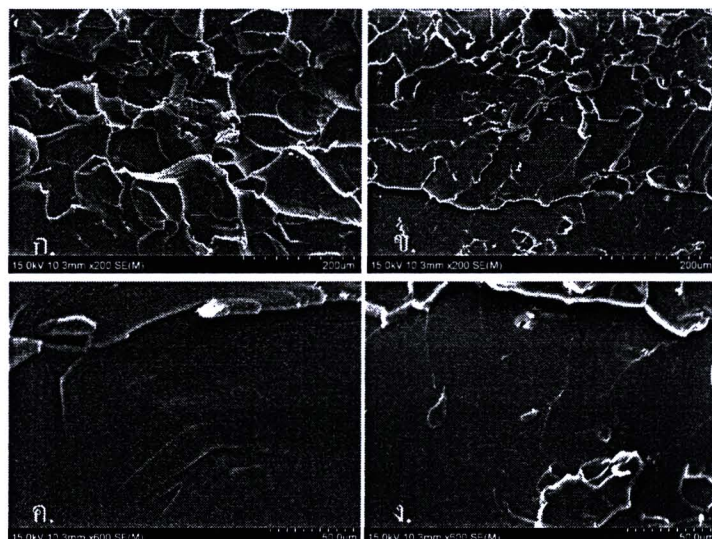
ภาพที่ 4-8 ทดสอบสัดคงของชิ้นงานทดสอบอีพ็อกซี่เรซิน อีพ็อกซี่เรซินใหม่ผสมรีไซเคิลเรซิน และอีพ็อกซี่เรซินใหม่ผสมแพลงวารอิเล็กทรอนิกส์บด ขนาด 60-80 mesh 80-160 mesh และ 160-200 mesh ในอัตราส่วนผสมร้อยละ 10 20 และ 30 โดยนำหนัก

จากผลการทดสอบมอคูลัสสัดคงของอีพ็อกซี่เรซิน (E0) อีพ็อกซี่เรซินใหม่ผสมรีไซเคิลเรซิน (E1 ถึง E3) และอีพ็อกซี่เรซินใหม่ผสมแพลงวารอิเล็กทรอนิกส์บด ขนาด 60-80 mesh (E4 ถึง E6) 80-160 mesh (E7 ถึง E9) และ 160-200 mesh (E10 ถึง E12) ในอัตราส่วนผสมร้อยละ 10 20 และ 30 โดยนำหนัก ดังแสดงในภาพที่ 4-8 พบว่า ผลการทดลองเป็นไปในทิศทางเดียวกันกับ

สมบัติความต้านทานแรงดึง สมบัติความต้านทานแรงกระแทกและสมบัติมอคูลัสสึคึด กล่าวคือ ชิ้นงานทดสอบ E1 ถึง E3 มีมอคูลัสสัดคงอยู่กว่าชิ้นงานทดสอบ E4 ถึง E12 และชิ้นงานทดสอบ E1 มีมอคูลัสสัดคงอยู่สูงสุดและมีแนวโน้มลดลงเมื่อปริมาณรีไซเคิลเรซินเพิ่มขึ้น ชิ้นงานทดสอบ E4 E7 และ E10 มีมอคูลัสสัดคงอยู่สูงสุดและชิ้นงานทดสอบ E10 ถึง E12 มีมอคูลัสสัดคงอยู่กว่าชิ้นงานทดสอบ E4 ถึง E9

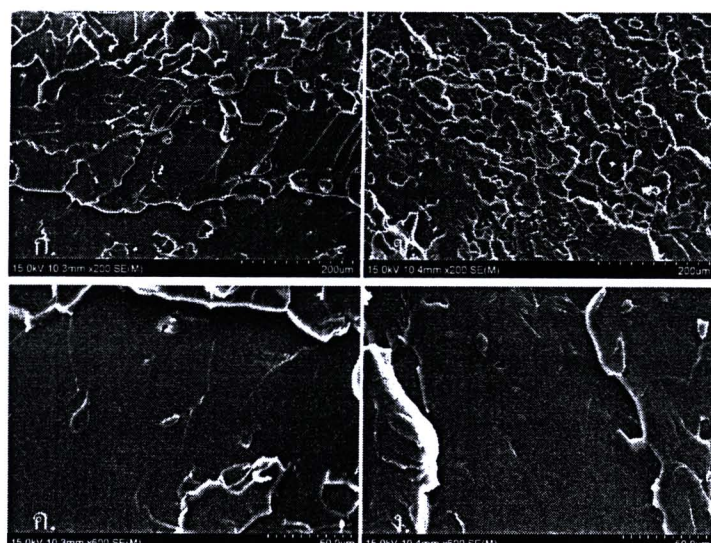
4.7 ลักษณะสัมฐานวิทยา

หลังจากที่ทำการทดสอบสมบัติเชิงกลแล้ว สามารถยืนยันผลการทดลองด้วยภาพถ่ายสัมฐานวิทยาของชิ้นงานทดสอบจากการรีไซเคิลทางเคมี คือ อีพ็อกซี่เรซินใหม่ผสานกับรีไซเคิลเรซินจาก การรีไซเคิลด้วยเทคนิคถังความดันและชิ้นงานทดสอบจากการรีไซเคิลทางกล คือ อีพ็อกซี่เรซินใหม่ผสานกับแพลงวารอิเล็กทรอนิกส์บด ขนาด 60-80 mesh 80-160 mesh และ 160-200 mesh ในอัตราส่วนผสมร้อยละ 10 20 และ 30 โดยนำหนัก ผลการทดสอบดังแสดงในภาพที่ 4-9 ถึง 4-11



ภาพที่ 4-9 ลักษณะสัมฐานวิทยาของชิ้นงานทดสอบจากกล้องจุลทรรศน์อิเล็กตรอนแบบส่อง粒粒 ก. อีพ็อกซี่เรซินใหม่ กำลังขยาย 200 เท่า ข. อีพ็อกซี่เรซินใหม่ผสานรีไซเคิลเรซิน อัตราส่วนผสมร้อยละ 10 กำลังขยาย 200 เท่า ค. อีพ็อกซี่เรซินใหม่ กำลังขยาย 600 เท่า ง. อีพ็อกซี่เรซินใหม่ผสานรีไซเคิลเรซิน อัตราส่วนผสมร้อยละ 10 กำลังขยาย 600 เท่า

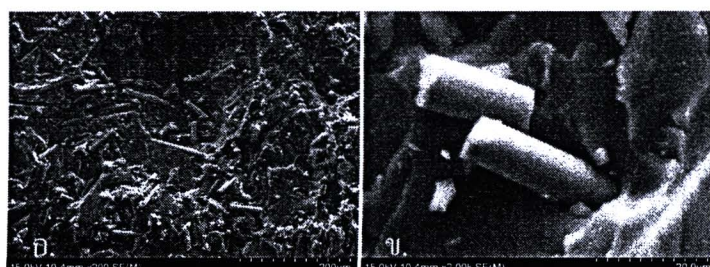
จากผลการทดสอบลักษณะสัณฐานวิทยาของชิ้นงานทดสอบจากกล้องจุลทรรศน์อิเล็กตรอนแบบส่องกราด กำลังขยาย 200 เท่า ของชิ้นงานทดสอบ E0 และ E1 ดังแสดงในภาพที่ 4-9 พบว่า ชิ้นงานทดสอบ E1 มีลักษณะของรอยแตกแบบ Quasi-cleavage fracture เหมือนกับชิ้นงานทดสอบ E0 เมื่อพิจารณาที่ชิ้นงานทดสอบ E0 และ E1 กำลังขยาย 600 เท่า พนว่า ชิ้นงานทดสอบ E1 สามารถสมรรวมเป็นเนื้อเดียวกันได้ดี สอดคล้องกับผลการทดลองการทดสอบสมบัติเชิงกลของ อีพ็อกซี่เรซินใหม่และอีพ็อกซี่เรซินใหม่ผสมริไชเคลิเรซิน ที่มีสมบัติความแข็ง ความต้านทานแรงกระแทก ความต้านทานแรงดึง เปอร์เซ็นต์การยึดคงและมอคูลัส ต่างกันเพียงเล็กน้อย



ภาพที่ 4-10 ลักษณะสัณฐานวิทยาของชิ้นงานทดสอบจากกล้องจุลทรรศน์อิเล็กตรอนแบบส่องกราด ก. อีพ็อกซี่เรซินใหม่ผสมริไชเคลิเรซิน อัตราส่วนผสมร้อยละ 10 กำลังขยาย 200 เท่า ข. อีพ็อกซี่เรซินใหม่ผสมริไชเคลิเรซิน อัตราส่วนผสมร้อยละ 30 กำลังขยาย 200 เท่า ค. อีพ็อกซี่เรซินใหม่ผสมริไชเคลิเรซิน อัตราส่วนผสมร้อยละ 10 กำลังขยาย 600 เท่า ง. อีพ็อกซี่เรซินใหม่ผสมริไชเคลิเรซิน อัตราส่วนผสมร้อยละ 30 กำลังขยาย 600 เท่า

จากผลการทดสอบลักษณะสัณฐานวิทยาของชิ้นงานทดสอบจากกล้องจุลทรรศน์อิเล็กตรอนแบบส่องกราด กำลังขยาย 200 เท่า ของชิ้นงานทดสอบ E1 และ E3 ดังแสดงในภาพที่ 4-10 พนว่า ชิ้นงานทดสอบ E1 และ E3 มีลักษณะของรอยแตกแบบ Quasi-cleavage fracture เหมือนกัน

ชิ้นงานทดสอบ E3 มีลักษณะ Ductile dimples มากกว่าชิ้นงานทดสอบชิ้นงานทดสอบ E1 และที่กำลังขยาย 600 เท่า พนว่า ชิ้นงานทดสอบ E1 และ E3 สามารถสมรรวมเป็นเนื้อเดียวกันได้ดี สอดคล้องกับผลการทดลองการทดสอบสมบัติเชิงกลของอีพ็อกซี่เรซินใหม่และอีพ็อกซี่เรซินใหม่ พสมรีไซเคิลเรซิน ที่มีสมบัติความแข็ง ความต้านทานแรงกระแทก ความต้านทานแรงดึง เปอร์เซ็นต์การยึดคงและมอคูลัส ต่างกันเพียงเล็กน้อย



ภาพที่ 4-11 ลักษณะสัณฐานวิทยาของชิ้นงานทดสอบจากกล้องจุลทรรศน์อิเล็กตรอนแบบส่อง粒粒 ก.อีพ็อกซี่เรซินใหม่พสมแพงวงจรอิเล็กทรอนิกส์บด ขนาด 160-200 mesh อัตราส่วนร้อยละ 10 กำลังขยาย 200 เท่า ข. อีพ็อกซี่เรซินใหม่พสมแพงวงจรอิเล็กทรอนิกส์บด ขนาด 160-200 mesh อัตราส่วนร้อยละ 10 กำลังขยาย 2000 เท่า

จากผลการทดสอบลักษณะสัณฐานวิทยาของชิ้นงานทดสอบจากกล้องจุลทรรศน์อิเล็กตรอนแบบส่อง粒粒 กำลังขยาย 200 เท่า ของชิ้นงานทดสอบ E10 ดังแสดงในภาพที่ 4-11 พนว่า อีพ็อกซี่เรซินใหม่พสมแพงวงจรอิเล็กทรอนิกส์บด ขนาด 160-200 mesh อัตราส่วนร้อยละ 10 ไม่สามารถสมรรวมเป็นเนื้อเดียวกันได้และเส้นใยเกิดหลุดออกจากอีพ็อกซี่เรซินใหม่ (Fiber pull out) ที่กำลังขยาย 2000 เท่า พื้นผิวของเส้นใยเก้ากับอีพ็อกซี่เรซินใหม่ไม่สามารถยึดเกาะกันได้และเกิดช่องว่าง (Void) บริเวณรอบเส้นใยแก้ว แสดงว่า พลังงานพื้นผิวระหว่างอีพ็อกซี่เรซินใหม่กับเส้นใยแก้วที่เป็นส่วนประกอบของแพงวงจรอิเล็กทรอนิกส์บดมีพลังงานต่ำ สอดคล้องกับผลการทดลองการทดสอบสมบัติเชิงกล

4.8 สมบัติทางความร้อนของชิ้นงานทดสอบ

การทดสอบสมบัติเชิงทางความร้อนของชิ้นงานทดสอบจากการรีไซเคิลทางเคมี คือ อีพ็อกซี่เรซินใหม่ผสมกับรีไซเคิลเรซินจากการรีไซเคิลด้วยเทคนิคถังความดัน เพื่อเปรียบเทียบ อุณหภูมิคล้ายแก้วและอุณหภูมิการถลายน้ำด้วยเทคนิคไฟฟ้าเรนเซียลสแกนนิ่งแคล로ริเมทรีและ เทคนิคเทอร์โมกราวิเมทริกและไลซิส

4.8.1 การทดสอบอุณหภูมิคล้ายแก้ว

การทดสอบอุณหภูมิคล้ายแก้วของอีพ็อกซี่เรซิน อีพ็อกซี่เรซินใหม่ผสมรีไซเคิลเรซิน ในอัตราส่วนร้อยละ 10 20 และ 30 โดยนำหนัก ผลการทดลองดังแสดงในตารางที่ 4-9

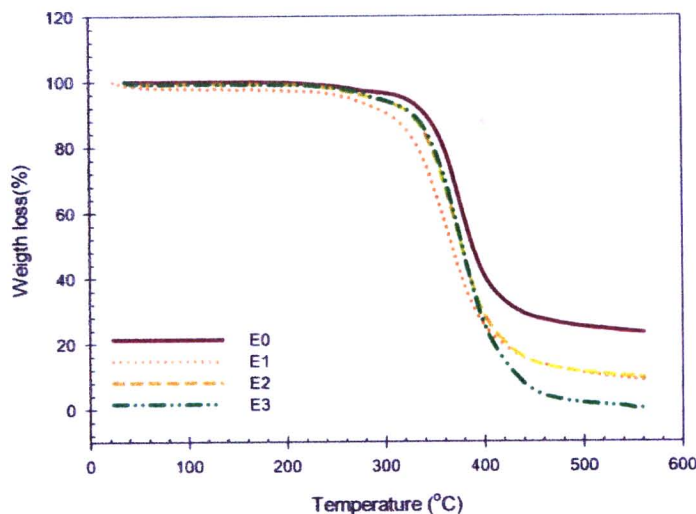
ตารางที่ 4-9 อุณหภูมิคล้ายแก้วของชิ้นงานทดสอบอีพ็อกซี่เรซินและอีพ็อกซี่เรซินใหม่ผสม รีไซเคิลเรซิน ในอัตราส่วนร้อยละ 10 20 และ 30 โดยนำหนัก

ชิ้นงานทดสอบ	อุณหภูมิคล้ายแก้ว (องศาเซลเซียส)
E0	82.81 ± 1.57
E1	79.90 ± 0.60
E2	68.15 ± 0.92
E3	65.03 ± 0.95

จากผลการทดสอบอุณหภูมิคล้ายแก้วของอีพ็อกซี่เรซินและอีพ็อกซี่เรซินใหม่ผสม รีไซเคิลเรซิน ในอัตราส่วนร้อยละ 10 20 และ 30 โดยนำหนัก ดังแสดงในตารางที่ 4-9 พบว่า ชิ้นงานทดสอบ E1 มีอุณหภูมิคล้ายแก้วสูงสุด คือ 79.90 องศาเซลเซียส และมีแนวโน้มลดลงตาม ปริมาณของรีไซเคิลเรซิน เนื่องจาก การรีไซเคิลอีพ็อกซี่เรซินในแพงวงจรอิเล็กทรอนิกส์ด้วย ตัวทำละลาย อุณหภูมิ และความดัน ทำให้ไม่เกิดข่องรีไซเคิลเรซินเกิดการเสื่อมสภาพ นำหนักไม่เกิดข่องลดลงและการกระจายนำหนักไม่เกิดเพิ่มขึ้น เมื่อผสมรีไซเคิลเรซินในปริมาณมากขึ้น ส่งผลให้อุณหภูมิคล้ายแก้วลดลง

4.8.2 การทดสอบอุณหภูมิการสลายตัว

การทดสอบอุณหภูมิการสลายตัวของอีพ็อกซี่เรซิน อีพ็อกซี่เรซินใหม่ผสมรีไซเคิลเรซิน ในอัตราส่วนผสมร้อยละ 10 20 และ 30 โดยนำหนัก ผลการทดลองดังแสดงในภาพที่ 4-10



ภาพที่ 4-12 อุณหภูมิการสลายตัวของชิ้นงานทดสอบอีพ็อกซี่เรซินและอีพ็อกซี่เรซินใหม่ผสมรีไซเคิลเรซิน ในอัตราส่วนผสมร้อยละ 10 20 และ 30 โดยนำหนัก

จากผลการทดสอบอุณหภูมิการสลายตัวของอีพ็อกซี่เรซินและอีพ็อกซี่เรซินใหม่ผสมรีไซเคิลเรซิน ในอัตราส่วนร้อยละ 10 20 และ 30 โดยนำหนัก ดังแสดงในภาพที่ 4-10 พนบว่า ชิ้นงานทดสอบ E1 ถึง E3 มีอุณหภูมิการสลายตัวใกล้เคียงกัน คือ 270-360 องศาเซลเซียส ในขณะที่ ชิ้นงานทดสอบ E3 สามารถสลายตัวได้มากที่สุดและมีแนวโน้มของการสลายตัวลดลงตามปริมาณของรีไซเคิลเรซิน เนื่องจาก การรีไซเคิลอีพ็อกซี่เรซินในแพวงจรอิเล็กทรอนิกส์คือการทำลายอุณหภูมิ และความดัน ทำให้ไม่เกิดของรีไซเคิลเรซินเกิดการเสื่อมสภาพ นำหนักไม่เกิดลดลง และการกระจายนำหนักไม่เกิดเพิ่มขึ้น เมื่อผสมรีไซเคิลเรซินในปริมาณมากขึ้น ส่งผลการสลายตัวเกิดได้เพิ่มมากขึ้น